

01
Повторное вейвлет-преобразование нестационарного сигнала с частотной модуляцией

© С.В. Божокин, И.М. Сулова

Санкт-Петербургский государственный политехнический университет,
 195251 Санкт-Петербург, Россия
 e-mail: bsvjob@mail.ru

(Поступило в Редакцию 19 февраля 2013 г.)

Предложена математическая модель нестационарного сигнала с частотной модуляцией в виде системы хаотически распределенных во времени гауссовских пиков. Получено аналитическое выражение для непрерывного вейвлет-преобразования CWT (continuous wavelet transform) модельного сигнала. Для сигналов с изменяющейся во времени последовательностью пиков проанализирован главный хребет скелетона, характеризующийся частотой $\nu_{\max}^{\text{MFB}}(t)$. Величина $\nu_{\max}^{\text{MFB}}(t)$ определяется для любого момента времени t из условия максимума CWT в спектральном диапазоне MFB (main frequency band). Для частотно-модулированного сигнала, имеющего переходные участки плавного изменения частоты (тренд), а также переменные колебания частоты относительно тренда, вычислено повторное CWT функции $\nu_{\max}^{\text{MFB}}(t)$. С помощью спектральных интегралов $E_\nu(t)$ определена длительность переходных периодов сигнала. Найдены времена появления и затухания низкочастотных спектральных составляющих сигнала. Метод повторного CWT может быть применен для анализа ритмов сердца и нейронной активности, а также нестационарных процессов в квантовой радиофизике и астрономии.

Введение

Применение теории вейвлетов для изучения нестационарных сигналов, спектральные свойства которых изменяются во времени, оказалось плодотворным во многих областях науки: астрофизика, гидродинамика, физика твердого тела и плазмы, радиофизика, медицина [1–5]. Во многих случаях теория вейвлетов стала заменять традиционный подход, основанный на оконном преобразовании Фурье. Недостаток преобразования Фурье состоит в том, что выбор оптимального размера окна W требует знания характерных промежутков времени перестройки спектральных свойств сигнала. В теории вейвлетов используется адаптивное окно, изменяющее свои размеры в зависимости от исследуемой частоты сигнала. Многие работы, основанные на применении теории вейвлетов, используют численные методы [6,7], поэтому построение алгоритмов, с помощью которых можно было бы получать аналитические выражения для непрерывного вейвлет-преобразования (continuous wavelet transform, CWT), является актуальной задачей как с точки зрения теории, так и приложений.

Целью настоящей работы является разработка метода изучения спектральных свойств сигнала, имеющего сложную частотную модуляцию. Предложенная модель такого сигнала, представляющая собой систему гауссовских пиков, расположенных в произвольные моменты времени, позволяет получить аналитическое выражение для CWT. Вычисление спектральных интегралов дает возможность выполнить спектральную фильтрацию такого сигнала, определяя изменение во времени локальной плотности спектра в определенном частотном диапазоне. Определены характерные переходные времена, определяющие изменение спектральных свойств

нестационарного сигнала, а также сформулированы критерии влияния граничных эффектов на вычисление CWT. Исследован скелетон CWT предлагаемой модели хаотичной системы гауссовских пиков и найдены его максимумы. Проанализирована зависимость от времени t частоты главного хребта $\nu_{\max}^{\text{MFB}}(t)$, которая показывает сложную динамику частотной модуляции сигнала в основной полосе частот (MBF — main frequency band). Метод повторного вейвлетного преобразования сигнала $\nu_{\max}^{\text{MFB}}(t)$ определяет характеристики нестационарной модуляции для спектральных поддиапазонов частот (SBF — subband frequency). Вычислена динамика изменения во времени низкочастотной модулирующей частоты $f_{\text{SBF}}(t)$ и определены характерные времена возникновения и затухания определенных спектральных поддиапазонов частот SBF.

Непрерывное вейвлет-преобразование суммы гауссовских пиков

Непрерывное вейвлет-преобразование $V(\nu, t)$ (CWT) [8–10]

$$V(\nu, t) = \nu \int_{-\infty}^{\infty} Z(t')\psi^*(\nu(t' - t))dt' \quad (1)$$

отображает исходный сигнал $Z(t)$ на плоскость непрерывно изменяющихся аргументов — частоты ν и времени t . Знак * означает комплексное сопряжение. Функция $\psi(x)$ представляет собой материнский вейвлет, локализованный вблизи точки $x = 0$, имеющий нулевое среднее значение и обладающий единичной нормой.

Этими свойствами обладает вейвлет Морле

$$\psi(x) = D \exp\left(-\frac{x^2}{2}\right) \left(\exp(-i\Omega_0 x) - \exp\left(-\frac{\Omega_0^2}{2}\right) \right), \quad (2)$$

где параметр $\Omega_0 = 2\pi$, а значение нормировочной постоянной D

$$D = \frac{1}{\sqrt{\sqrt{\pi} \left(1 - 2 \exp\left(-\frac{3\Omega_0^2}{4}\right) + \exp(-\Omega_0^2) \right)}}. \quad (3)$$

Для вейвлета Морле $\psi(x)$ (2) протяженность по переменной x равна $\Delta_x \approx 1/\sqrt{2}$, а протяженность частотного спектра $\Delta_\Omega \approx 1/\sqrt{2}$. Следовательно, вейвлет Морле одинаково хорошо подходит для анализа как временных, так и частотных особенностей исследуемого сигнала, что явилось основанием выбора именно этого материнского вейвлета. Вейвлет в выражении для SWT (2) играет роль адаптивного окна протяженностью $t - \Delta_x/\nu < t' < t + \Delta_x/\nu$, ширина которого велика для малых частот ν и мала для больших частот. Основной вклад в интеграл $V(\nu, t)$ (1) вносят составляющие сигнала $Z(t')$, которые похожи на вейвлет, центрированный в точке $t = t'$ и обладающий частотой ν . Исследование спектральных свойств сигнала выполняется с помощью анализа динамики положения максимумов (хребтов) поверхности $|V(\nu, t)|^2$. Изображение таких хребтов называют скелетоном. В работе [9] показано, что для гармонического сигнала $Z(t) = \cos(2\pi f_1 t)$, где f_1 — частота в Hz, максимум величины $|V(\nu, t)|^2$ будет наблюдаться при $\nu = f_1$. Это означает, что величина $P(\nu, t) = |V(\nu, t)|^2$ определяет мгновенный спектр мощности сигнала, показывающий динамику изменения во времени спектральных свойств сигнала. Для вейвлет-преобразования справедливо соотношение

$$\int_{-\infty}^{\infty} Z^2(t) dt = \frac{2}{C_\psi} \int_{-\infty}^{\infty} dt \int_0^{\infty} d\nu \frac{|V(\nu, t)|^2}{\nu}, \quad (4)$$

согласно которому величина

$$\varepsilon(\nu, t) = \frac{2}{C_\psi} \frac{|V(\nu, t)|^2}{\nu} \quad (5)$$

характеризует мгновенное распределение энергии сигнала по частотам ν (локальная плотность спектра энергии сигнала). Константа C_ψ для вейвлета Морле равна $C_\psi \approx 1.0132$ [9].

Для исследования динамики изменения различных частот нестационарных сигналов введем спектральный интеграл $E_\mu(t)$:

$$E_\mu(t) = \frac{1}{\Delta\nu} \int_{\nu_\mu - \Delta\nu/2}^{\nu_\mu + \Delta\nu/2} \varepsilon(\nu, t) d\nu. \quad (6)$$

Спектральный интеграл $E_\mu(t)$ представляет собой среднее значение локальной плотности спектра энергии

сигнала, проинтегрированное по определенному интервалу частот $\mu = [\nu_\mu - \Delta\nu/2; \nu_\mu + \Delta\nu/2]$, где величина ν_μ обозначает середину интервала, а $\Delta\nu$ — его ширину. Изучая поведение спектральных интегралов по времени $E_\mu(t)$, мы выполняем своеобразную фильтрацию нашего сигнала, суммируя вклады от локальной плотности спектра $\varepsilon(\nu, t)$ лишь в определенном интервале частот μ .

Если интервал частот μ является узким $\Delta\nu \ll \nu_\mu$, то в этом случае $E_\mu(t)$ показывает как изменяется $\varepsilon(\nu_\mu, t)$ в окрестности частоты ν_μ . Если ширина $\Delta\nu \approx \nu_\mu$, то поведение $E_\mu(t)$ характеризует поведение усредненной плотности частот в диапазоне μ . Вычисляя времена нарастания и спадания $E_\mu(t)$, можно охарактеризовать степень нестационарности нашего сигнала.

Как правило, записи реальных сигналов имеют определенную продолжительность по времени. Определим влияние граничных эффектов на правильное вычисление величины $V(\nu, t)$ [11]. Граничные эффекты проявляются на левой ($0 < t < t_L$) и правой границах ($t_R < t < T$) промежутка наблюдения сигнала T , причем для устранения граничных эффектов на таких временах мы будем обнулять значения SWT. Учтем, что продолжительность интервалов $[0, t_L]$ и $[t_R, T]$ связана с величиной минимальной частоты ν_{\min} соотношением $t_L \approx T - t_R \approx 2\Delta_B/\nu_{\min}$, где безразмерная величина Δ_B определяет влияние границ. Для определения ν_{\min} , которая может быть корректно зарегистрирована для сигнала конечной продолжительности T , потребуем, чтобы на длине временного промежутка $t_R - t_L$ укладывалось целое значение m периодов сигнала, имеющего частоту ν_{\min} , т.е. $t_R - t_L = m/\nu_{\min}$. Промежуток наблюдения сигнала T складывается из суммы граничных участков, равной $4\Delta_B/\nu_{\min}$, и длины корректного определения SWT, равной m/ν_{\min} , поэтому

$$\nu_{\min} = \frac{m + 4\Delta_B}{T}. \quad (7)$$

Учет граничных эффектов приводит к тому, что величина ν_{\min} примерно в $m + 4\Delta_B$ раз больше, чем минимальная частота $f_{\min} = 1/T$, используемая в фурье-анализе. Исследование влияния граничных эффектов показывает, что Δ_B должна удовлетворять соотношению $\Delta_B \approx 2\Delta_x$. Для материнского вейвлета Морле выберем $\Delta_B \approx 1.5$, а количество периодов $m = 7$.

Для гауссовского пика с амплитудой b_0 , имеющего ширину τ_0 и локализованного по времени t в точке t_0

$$z_0(t - t_0) = \frac{b_0}{2\sqrt{\pi}\tau_0} \exp\left(-\frac{(t - t_0)^2}{4\tau_0^2}\right), \quad (8)$$

может быть получено аналитическое выражение для $V(\nu, t)$ (1)

$$V(\nu, t - t_0) = \frac{Db_0\nu}{a(\nu)} \exp\left(-\frac{x^2 + \Omega_0^2[a^2(\nu) - 1]}{2a^2(\nu)}\right) \times \left[\exp\left(-\frac{i\Omega_0 x}{a^2(\nu)}\right) - \exp\left(-\frac{\Omega_0^2}{2a^2(\nu)}\right) \right]. \quad (9)$$

В формуле (9) $x = v(t - t_0)$, а функция $a(v) = \sqrt{1 + 2v^2\tau_0^2}$. Рассмотрим математическую модель сложного сигнала $Z(t)$ как суперпозицию N различных гауссовских пиков, центры которых расположены на неравномерной сетке времен t_n , причем каждый пик имеет свою амплитуду b_n и ширину τ_n ,

$$Z(t) = \sum_{n=0}^{N-1} z_n(t - t_n). \quad (10)$$

Аналитическое выражение для CWT сигнала $Z(t)$ (1) также может быть вычислено на основании принципа суперпозиции (10)

$$V(v, t) = \sum_{n=0}^{N-1} V(v, t - t_n). \quad (11)$$

Разберем два применения этой модели. Осуществим дискретизацию произвольного непрерывного сигнала $Y(t)$, заменяя его значениями $Y_n = Y(t_n)$, взятыми в определенные моменты времени t_0, t_1, \dots, t_{N-1} , причем величина $\Delta t = t_{n+1} - t_n$ называется временем дискретизации сигнала. В первом случае применения модели (амплитудная модуляция) предположим, что все гауссовские пики имеют одинаковую ширину $\tau_0 \ll \Delta t$ и будут отстоять на одинаковое расстояние Δt . Полагая все амплитуды гауссовских пиков b_n удовлетворяющими соотношениям $b_n = Y_n$, мы можем вычислить CWT (1) произвольного сигнала $Y(t)$.

Во втором случае применения нашей модели (частотная модуляция) рассмотрим сигнал $Z(t)$, который представляет собой суперпозицию N одинаковых гауссовских пиков ($b_n = 1, \tau_n = \tau_0$), центры которых расположены на неравномерной сетке t_n . Для исследования спектральных свойств такого нестационарного сигнала $Z(t)$, имеющего сложную частотную модуляцию, рассмотрим некоторые примеры.

Вычислим CWT (1) для двух одинаковых гауссовских пиков, имеющих ширину $\tau_0 = 0.02$ s, центры которых расположены в точках $t_1 = 4.5$ s и $t_2 = 5.5$ s. Продолжительность времени между этими двумя пиками равняется $T_p = 1$ s. Анализ величины $|V(v, t)|^2$ для такого сигнала (рис. 1) показывает, что в моменты времени $t_1 = 4.5$ s и $t_2 = 5.5$ s, наблюдаются резкие всплески высокочастотных компонентов CWT. Кроме того, на частотах $v \approx 1, 2, 3$ Hz формируется новая структура, максимум которой параллелен оси времени t , отражающая периодичность следования двух импульсов, разделенных промежутком времени $T_p = 1$ s (частота следования $\nu_p = 1/T_p$).

Рассмотрим далее сигнал $Z(t)$, состоящий из девяти одинаковых гауссовских пиков t_0, t_1, \dots, t_8 (рис. 2), расположенных в произвольные моменты времени $t_n = \{0.850, 1.859, 3.108, 3.911, 4.932, 6.052, 6.946, 7.899, 8.962$ s}. На рис. 3 для $|V(v, t)|^2$ видно девять пиков высокочастотной активности, хребты которых,

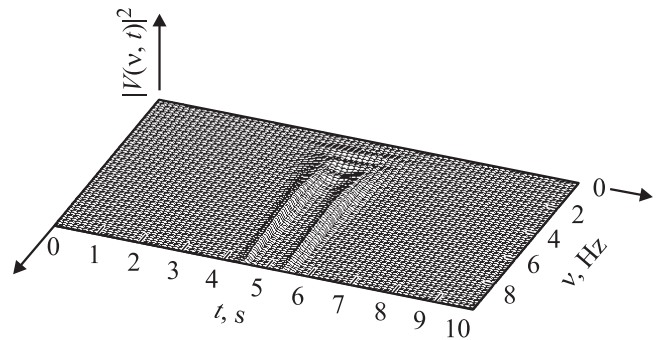


Рис. 1. Зависимость CWT $|V(v, t)|^2$ от частоты ν Hz и времени t, s для суммы двух одинаковых гауссовских пиков.

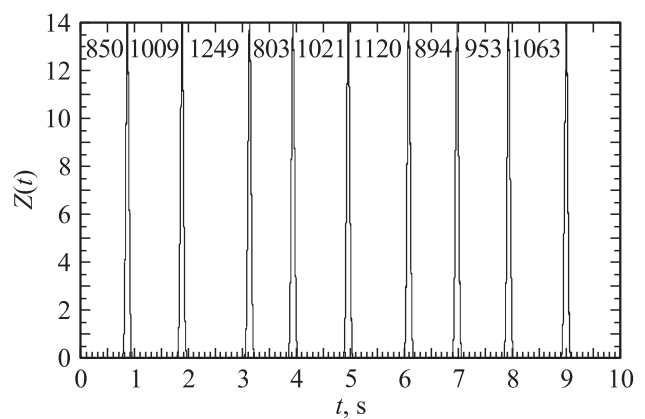


Рис. 2. Зависимость от времени $Z(t)$ сигнала, представляющего собой сумму девяти гауссовских пиков, имеющих одинаковую форму, расположенных в хаотических точках $t_n = (0.850, 1.859, 3.108, 3.911, 4.932, 6.052, 6.946, 7.899, 8.962$ s). В миллисекундах (ms) обозначены промежутки между соседними гауссовскими пиками.

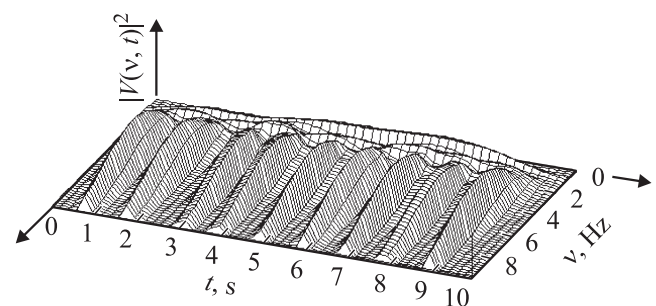


Рис. 3. Зависимость CWT $|V(v, t)|^2$ от частоты ν, Hz и времени t, s для суммы девяти хаотически распределенных гауссовских пиков (рис. 2).

простирающиеся в область высоких частот $\nu \approx 10$ Hz, параллельны оси ν , причем каждый из этих пиков центрирован по времени в момент t_n . Такие пики высокочастотной активности связаны с малой продолжительностью отдельного гауссовского пика, равной $\tau_0 = 0.02$ s. Важно отметить (рис. 2), что для девяти пиков фор-

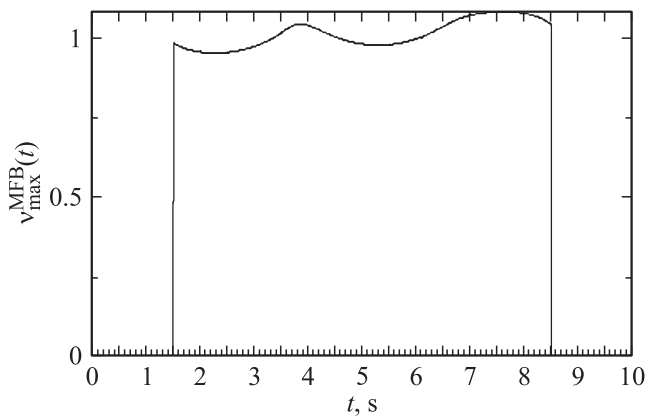


Рис. 4. Зависимость максимальной частоты $\nu_{\max}^{\text{MFB}}(t)$, Hz от времени t , s для суммы девяти хаотически распределенных гауссовских пиков (рис. 2).

мируется единый главный хребет, положение которого будет описываться некоторой кривой, расположенной вдоль оси времени. Это связано с тем, что отдельные пики высокочастотной активности формируют связанную структуру, обусловленную нестрогой периодичностью их повторения. Если повторяющиеся пики следуют друг за другом с временем $T_p \approx 1$ s, то это означает, что положение главного хребта характеризуется изменяющейся во времени частотой в диапазоне $\nu_\mu \approx 1$ Hz.

Предположим, что основная полоса исследуемого сигнала $Z(t)$, характеризующая повторяемость пиков, лежит в интервале $[\nu_{\min}; \nu_{\text{HFMBF}}]$ (MBF — main frequency band), причем $\nu_{\text{HFMBF}} = 2$ Hz. Разобьем этот диапазон частот $[\nu_{\min}; \nu_{\text{HFMBF}}]$ на некоторые области, имеющие граничные частоты $\{\nu_{\min}, 0.667, 1.00, 1.333, 2.00 \text{ Hz}\}$. В этом случае индекс μ , описывающий спектральные интервалы $E_\mu(t)$ (6), пробегает значения $\mu = \{\text{ULFMBF}, \text{VLFMBF}, \text{LFMBF}, \text{HFMBF}\}$, где аббревиатуры обозначают подынтервалы частот исследуемого сигнала: ULF — сверхнизкие частоты, VLF — очень низкие частоты, LF — низкие частоты, HF — высокие частоты.

Для анализа медленного ухода периодичности сигнала в области сверхнизких частот $\mu = \text{ULFMBF}$ необходимо выбрать несколько поддиапазонов частот, причем их границы равны $\{\nu_{\min}, 0.015, 0.04, 0.15, 0.4 \text{ Hz}\}$. Для анализа сигнала в этом поддиапазоне (SBF — subband frequency) мы введем спектральные интегралы $E_\nu(t)$, где индекс ν принимает значения $\nu = \{\text{ULFSBF}, \text{VLFSBF}, \text{LFSBF}, \text{HFSBF}\}$, причем диапазон SBF = $[\nu_{\min}; 0.4 \text{ Hz}]$.

Для количественного анализа поведения по времени главного хребта, обусловленного периодичностью повторения гауссовских пиков, введем частоту $\nu_{\max}^{\text{MFB}}(t)$, которая для каждого момента времени t характеризует точку по оси частот, где наблюдается максимум величины $|V(\nu, t)|^2$, причем этот максимум находится в диапазоне частот $[\nu_{\min}; \nu_{\text{HFMBF}}]$, где $\nu_{\text{HFMBF}} = 2$ Hz. На

рис. 4 представлена плавная зависимость максимальной частоты $\nu_{\max}^{\text{MFB}}(t)$ от времени t для сигнала $Z(t)$ из девяти гауссовских пиков (рис. 2). Рассмотрим пик, центрированный в момент $t_6 = 6.946$ s, причем предшествующий промежуток между пиками равен $RR_6 = 894$ ms. В момент времени $t_7 = 7.8985$ s возник следующий пик, причем $RR_7 = 953$ ms. Эти два значения $RR_n < 1000$ ms. Соответственно в промежутке времени $t = [5.98; 8.5 \text{ s}]$ частота $\nu_{\max}^{\text{MFB}}(t) > 1$, причем она достигает максимума $\nu_{\max}^{\text{MFB}}(t) = 1.086$ Hz при $t = 7.59$ s. На границах промежутка времени $T = 10$ s учтены граничные эффекты ($t_L \approx 1.5$ s), поэтому в этих областях $\nu_{\max}^{\text{MFB}}(t)$ не вычисляется.

Нестационарный сигнал с частотной модуляцией

Рассмотрим сигнал $Z(t)$ (10), который представляет собой $N = 4200$ одинаковых импульсов гауссовской формы, центры которых расположены в точках $t_n = t_{n-1} + RR_n$, где $n = 1, 2, 3, \dots, N - 1$, RR_n — расстояние между центрами, причем $t_0 = RR_0$, а их ширина $\tau_0 = 0.02$ s. Модель зависимости RR_n от номера n имеет вид: на этапе A, $n = 0, 1, \dots, n_A$, где $n_A = 1400$, $RR_A = 800$ ms, $\varepsilon = 0.04$

$$RR_n = RR_A \left[1 + \varepsilon \sin\left(\frac{2\pi F(n)n}{N}\right) \right]. \quad (12)$$

На этапе B $n = n_A + 1, \dots, n_B$, где $n_B = 2800$, $RR_B = 555.55$ ms, $n_1 = 100$, $\varepsilon = 0.04$,

$$RR_n = \left[RR_B + (RR_A - RR_B) \exp\left(-\frac{(n - n_A)}{n_1}\right) \right] \times \left[1 + \varepsilon \sin\left(\frac{2\pi F(n)n}{N}\right) \right]. \quad (13)$$

На этапе C $n = n_B + 1, \dots, N - 1$, где $RR_C = 800$ ms, $n_2 = 50$, $\varepsilon = 0.04$,

$$RR_n = \left[RR_B + (RR_C - RR_B) \left(1 - \exp\left(-\frac{n - n_B}{n_2}\right) \right) \right] \times \left[1 + \varepsilon \sin\left(\frac{2\pi F(n)n}{N}\right) \right], \quad (14)$$

$$F(n) = F_{\min} + \frac{(F_{\max} - F_{\min})}{1 + \exp\left(-\frac{(n - n_0)}{n_T}\right)}, \quad (15)$$

где $F_{\min} = 90$, $F_{\max} = 240$, $n_0 = 2700$, $n_T = 400$, причем $F(0) \approx F_{\min}$, $F(n_0) = (F_{\max} + F_{\min})/2$, $F(N) \approx F_{\max}$. Плавное изменение (тренд) зависимости RR_n определяется экспоненциальными слагаемыми, а переходные периоды — константами n_1 и n_2 . Если значение $n = n_A$, то $RR_n \approx RR_A$, при $n = n_B$, $RR_n \approx RR_B$, при $n = N$, $RR_n \approx RR_A$. Безразмерная величина $F(n)$ характеризует

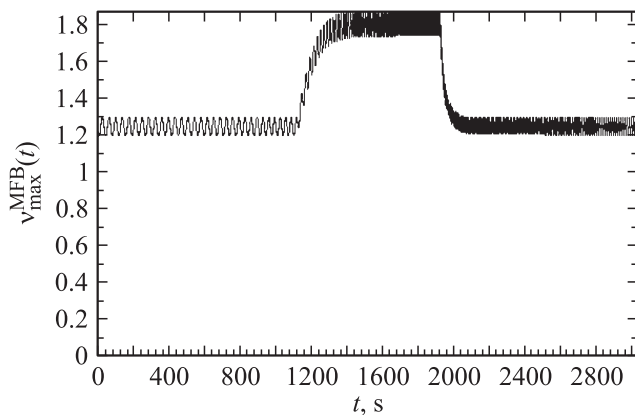


Рис. 5. График максимальной частоты $v_{\max}^{\text{MFB}}(t)$ в зависимости от времени t, s для модели (12)–(15).

колебания величины RR_n относительно тренда, причем амплитуда таких колебаний определяется значением $\varepsilon = 0.04$, а их частота возрастает $F(0) \approx F_{\min}$, $F(n_0) = (F_{\max} + F_{\min})/2$, $F(N) \approx F_{\max}$.

Если предположить, что все RR_n одинаковы ($RR_n = RR_A$), то частота главного хребта $v_{\max}^{\text{MFB}}(t)$ постоянна $v_{\max}^{\text{MFB}}(t) = v_A = 1/RR_A = 1.25 \text{ Hz}$.

Если на фоне постоянного значения RR_A существуют колебания с постоянной $F_n = F_{\min}(t)$, то частоту колебаний $v_{\max}^{\text{MFB}}(t)$ относительно v_A можно оценить: $f \approx F_{\min}/(N \cdot RR_A) \approx 0.027 \text{ Hz}$. Для последовательности RR_n (12–15) наш нестационарный сигнал $Z(t)$ будет иметь сложную частотную модуляцию, имеющую как тренд, так и изменяющиеся колебания относительно тренда. Для анализа такого сигнала исследуется зависимость от времени частоты основного хребта $v_{\max}^{\text{MFB}}(t)$, которая соответствует максимуму $|V(v, t)|^2$ в интервале частот основной полосы MFB.

На рис. 5 изображена зависимость $v_{\max}^{\text{MFB}}(t)$, вычисленная для модели (12–15). Нахождение аналитических выражений $|V(v, t)|^2$ и величин $v_{\max}^{\text{MFB}}(t)$ производилось с очень малым шагом по времени $\Delta t = 0.5 \text{ s}$ и по частоте $\Delta v = 0.005 \text{ Hz}$ на всем интервале наблюдения $T = 3029.5 \text{ s}$ для полосы частот MFB = $[v_{\min}; v_{\text{HFMBF}} = 2 \text{ Hz}]$, где v_{\min} определяется выражением (7). Это эквивалентно нахождению примерно $2.4 \cdot 10^6$ значений $|V(v, t)|^2$, что позволило выявить все детали тренда зависимости $v_{\max}^{\text{MFB}}(t)$, на фоне которого происходят изменения частоты таких низкочастотных колебаний f , которые находятся в диапазоне SBF = $[v_{\min}; v_{\text{HFSBF}} = 0.4 \text{ Hz}]$.

Анализ рис. 5 показывает, что спектральный состав сигнала $v_{\max}^{\text{MFB}}(t)$ меняется со временем, и это является следствием сложного характера частотной модуляции сигнала $Z(t)$ с переменной по времени частотой модуляции $f(t)$. Для такого сигнала его спектральный состав изменяется во времени и зависит от амплитуды модуляции. Численная оценка (рис. 5) показывает, что мак-

симальное значение частоты колебаний $v_{\max}^{\text{MFB}}(t)$ относительно тренда $f \approx 0.17 \text{ Hz}$ наблюдается при $t = 1910 \text{ s}$.

Для исследования нестационарности сигнала $v_{\max}^{\text{MFB}}(t)$ выполним еще раз CWT по формуле (1) и обозначим такое повторное CWT как $V_{v_{\max}}(v, t)$. Метод повторного CWT был предложен в работах [12–14] для изучения синусоидальных сигналов. Смысл повторного CWT, примененного нами для системы гауссовских сигналов $Z(t)$ (10), поясним следующим образом. При первом CWT $V(v, t)$ (1) сигнала $Z(t)$ (10), имеющего сложную частотную модуляцию, вычисляется $v_{\max}^{\text{MFB}}(t)$ — мгновенная частота, обеспечивающая максимальное значение первого CWT $V(v, t)$. Полученный нестационарный сигнал $v_{\max}^{\text{MFB}}(t)$ также имеет сложную спектральную плотность, которая зависит от времени. Для изучения моментов возникновения и исчезновения характерных низкочастотных колебаний $f(t)$ в сигнале $v_{\max}^{\text{MFB}}(t)$ выполняется второе CWT по формуле (1). В этом случае в качестве сигнала выступает $v_{\max}^{\text{MFB}}(t)$, а роль повторного CWT играет $V_{v_{\max}}(v, t)$. Для повторного CWT также будут вычисляться скелетоны $V_{v_{\max}}(v, t)$ и строиться спектральные интегралы $E_v(t)$ в низкочастотной области SBF = $[v_{\min}; v_{\text{HFSBF}} = 0.4 \text{ Hz}]$. В этом случае индекс v пробегает значения $v = (\text{ULFSBF}, \text{VLFSBF}, \text{LFSBF}, \text{HFSBF})$, причем границы поддиапазонов равны $\{v_{\min}, 0.015, 0.04, 0.15, 0.4 \text{ Hz}\}$.

На рис. 6 построено повторное вейвлет-преобразование $V_{v_{\max}}(v, t)$, где величина v изменяется в диапазоне SBF. Основной хребет $V_{v_{\max}}(v, t)$ показывает изменение динамики низкочастотных колебаний $f(t)$ во времени, причем $f_{\max}(t) \approx 0.184 \text{ Hz}$ при $t = 1917 \text{ s}$. Скелетон $V_{v_{\max}}(v, t)$, представленный на рис. 7, кроме основного хребта $f(t)$ демонстрирует еще два пика низкочастотной активности, центрированные в точках $t_A = 1800 \text{ s}$, $t_B = 2700 \text{ s}$, связанные трендом величины $v_{\max}^{\text{MFB}}(t)$. Эти пики хорошо видны на графике спектрального интеграла $E_{\text{ULFSBF}}(t)$, построенного в диапазоне частот ULFSBF = $[v_{\min}; 0.015 \text{ Hz}]$ (рис. 8). Расчет $2\Delta_{\text{FWHM}}$ — полной ширины максимума на половине его высоты

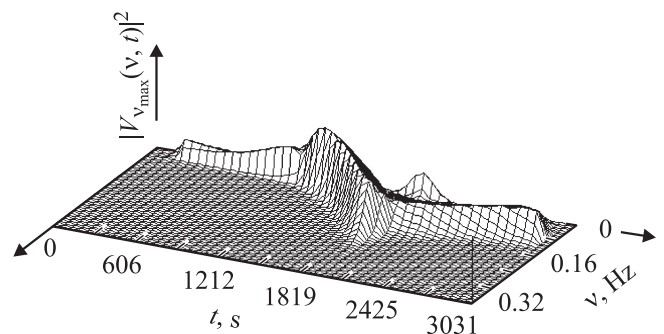


Рис. 6. Квадрат модуля повторного CWT $|V_{v_{\max}}(v, t)|^2$, построенный для сигнала $v_{\max}^{\text{MFB}}(t)$ (рис. 5) в зависимости от частоты v, Hz и времени t, s . Диапазон частот SBF = $[v_{\min}; v_{\text{HFSBF}} = 0.4 \text{ Hz}]$.

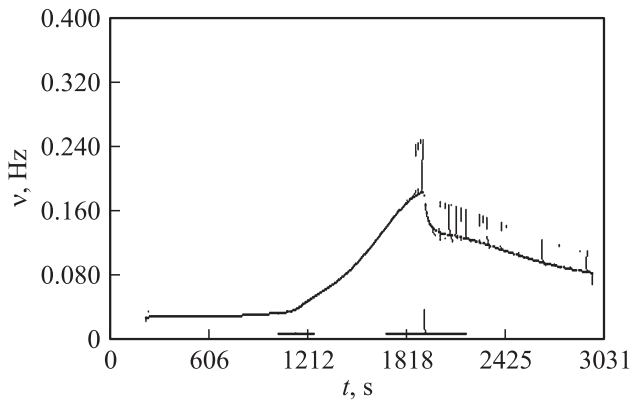


Рис. 7. Скелетон повторного CWT $|V_{v_{max}}(v, t)|^2$, вычисленный для сигнала $v_{max}^{MFB}(t)$ (рис. 5) в зависимости от частоты v , Hz и времени t , s.

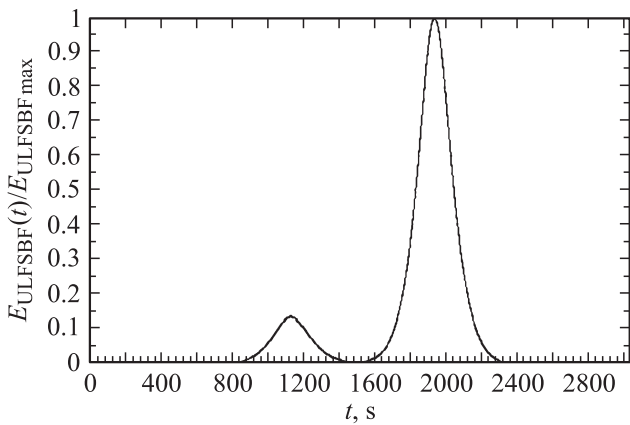


Рис. 8. График отношения спектрального интеграла $E_{ULFSBF}(t)$, построенный для $V_{v_{max}}(v, t)$ (рис. 6), к своему максимальному значению $E_{ULFSBF_{max}}$ в зависимости от времени t , s. Диапазон частот ULFSBF = $[v_{min}; v_{ULFSBF} = 0.015 \text{ Hz}]$.

(FWHM — full width at half maximum) показывает, что в окрестности t_A величина $2\Delta_{FWHM}(t_A) \approx 257 \text{ s}$, а для пика вблизи t_B — $2\Delta_{FWHM}(t_B) \approx 198 \text{ s}$. Эти величины представляют собой уточненные времена переходных периодов $\tau_A = 2\Delta_{FWHM}(t_A)$, $\tau_B = 2\Delta_{FWHM}(t_B)$, которые оказалось возможным оценить, построив зависимость числа ударов $RR_n(t)$ (аперiodические участки изменения RR_n). Анализ спектрального интеграла $E_{VLFSBF}(t)$ показывает, что в момент времени $t \approx 1224 \text{ s}$ модулирующая частота f покидает границы диапазона VLFSBF = $[0.015, 0.04 \text{ Hz}]$. Такое поведение можно увидеть при анализе скелетона $V_{v_{max}}(v, t)$, представленного на рис. 7.

Таким образом, изучая поведение спектральных интегралов $E_\nu(t)$ в низкочастотной области SBF, где индекс ν пробегает значения $\nu = (\text{ULFSBF}, \text{VLFSBF}, \text{LFSBF}, \text{HFSBF})$, а границы поддиапазонов равны $\{v_{min}, 0.015, 0.04, 0.15, 0.4 \text{ Hz}\}$, мы можем количественно проанализировать нестационарность

нашего сигнала с переменными колебаниями величины $v_{max}^{MFB}(t)$ относительно своего тренда. Величины $E_\nu(t)$ свидетельствуют о появлении и исчезновении низких частот f частотной модуляции сигнала $Z(t)$, а также позволяют вычислить характерные времена появления и исчезновения частот в поддиапазонах $\nu = (\text{ULFSBF}, \text{VLFSBF}, \text{LFSBF}, \text{HFSBF})$.

Заключение

Предложена математическая модель нестационарного сигнала $Z(t)$ с частотной модуляцией, состоящего из системы хаотически расположенных по времени гауссовских пиков, центрированных в произвольные моменты времени $t_n = t_{n-1} + RR_n$, которые разделены между собой интервалом RR_n . Для этой модели получено аналитическое выражение для непрерывного вейвлетного преобразования CWT. Обсуждено влияние граничных эффектов на вычисление CWT и получена формула для минимальной частоты v_{min} , которая может быть корректно зарегистрирована для сигнала конечной продолжительности. Для двух модельных задач (два гауссовских пика и девять хаотически распределенных пиков) показано формирование главного хребта CWT, обусловленного периодичностью следования этих пиков. Продемонстрировано поведение частоты $v_{max}^{MFB}(t)$, которая для данного момента времени t определяет максимальное значение $|V(v, t)|^2$ CWT, формирующее главный хребет скелетона.

Предложена модель RR_n , которая характеризуется как аперiodической зависимостью величины RR_n от номера пика n (тренд), так и колебаниями RR_n относительно этого тренда. Периоды таких колебаний RR_n изменяются с номером n . Для такой модели сложный частотно-модулированный сигнал $Z(t)$ имеет переходные участки плавного изменения частоты, а также колебания частоты относительно тренда с переменным периодом. В области основной полосы исследуемого сигнала MFB = $[v_{min}; v_{HFMFB}]$, где $v_{HFMFB} = 2 \text{ Hz}$, найдена частота $v_{max}^{MFB}(t)$, которая для данного времени t определяет максимальное значение $|V(v, t)|^2$ CWT. Нестационарный спектральный состав $v_{max}^{MFB}(t)$ проанализирован с помощью повторного вейвлетного преобразования $|V_{v_{max}}(v, t)|^2$. Повторное CWT позволяет найти максимальное значение модулирующей частоты низкочастотных колебаний $f_{max}(t) \approx 0.184 \text{ Hz}$, наблюдающееся в момент времени $t = 1917 \text{ s}$. После нахождения повторного CWT весь поддиапазон частот SBF = $[v_{min}; v_{HFSBF} = 0.4 \text{ Hz}]$ разбивается на интервалы $\nu = (\text{ULFSBF}, \text{VLFSBF}, \text{LFSBF}, \text{HFSBF})$ и вычисляются все спектральные интегралы $E_\nu(t)$. В интервале ULFSBF = $[v_{min}; 0.015 \text{ Hz}]$ спектральный интеграл $E_{ULFSBF}(t)$ позволил определить продолжительность переходных периодов $\tau_A \approx 257 \text{ s}$ и $\tau_B \approx 198 \text{ s}$. Это соответствует периодам аперiodического поведения ча-

стоты $\nu_{\max}^{\text{MFB}}(t)$ около моментов времени $t_A = 900$ s и $t_B = 1800$ s.

Предлагаемый подход, использующий повторное SWT, позволяет с помощью вычисления спектральных интегралов $E_\nu(t)$ найти характерные масштабы переходных периодов сигнала $\nu_{\max}^{\text{MFB}}(t)$. Используя различные поддиапазоны частот ν , можно определить времена появления и исчезновения частот колебаний $\nu_{\max}^{\text{MFB}}(t)$ относительно тренда.

Разрабатываемая модель может быть использована для анализа сигналов ритмограммы сердца при холтеровском мониторинге [15–17], для изучения сигналов активности нейрона при генерации спайков [14,18,19], при изучении дневных ритмов животных [20], для изучения неустойчивости квантовых стандартов частоты [21–23], для исследования периодических процессов в астрофизике [24–27].

Работа выполнена при финансовой поддержке ФЦП „Научные и научно-педагогические кадры инновационной России (2009–2013)“, грант 2011-1.2.2-201-007-27.

Список литературы

- [1] Малла С. Вейвлеты в обработке сигналов. М.: Мир, 2005. 671 с.
- [2] Короновский А.А., Храмов А.Е. Непрерывный вейвлет-анализ и его приложения. М.: Физматлит, 2003. 176 с.
- [3] Чуи К. Введение в вейвлеты. М.: Мир, 2001. 412 с.
- [4] Смоленцев Н.К. Основы теории вейвлетов. Вейвлеты в MATLAB. М.: ДМК Пресс, 2008. 448 с.
- [5] Добеши И. Десять лекций по вейвлетам. М.: РХД, 2004. 464 с.
- [6] Cohen A. Numerical Analysis of Wavelet Method. North-Holland: Elsevier Science, 2003. 335 p.
- [7] Advances in Wavelet Theory and Their Applications in Engineering, Physics and Technology / Ed. by D. Baleanu. Rijeka: InTech, 2012. 634 p.
- [8] Божокин С.В., Суворов Н.Б. // Биомедицинская радиоэлектроника. 2008. Вып. 3. С. 21–25.
- [9] Божокин С.В. // ЖТФ. 2010. Т. 80. Вып. 9. С. 16–24.
- [10] Божокин С.В. // ЖТФ. 2012. Т. 82. Вып. 7. С. 8–13.
- [11] Танканаг А.В., Черемис Н.К. // Биофизика. 2009. Т. 54. Вып. 3. С. 537–544.
- [12] Sosnovtseva O.V., Pavlov A.N., Mosekilde E., Holstein-Rathlou N.H., Marsh D.J. // Phys. Meas. 2005. Vol. 26. P. 351–362.
- [13] Addison P.S., Watson J.N. // Int. J. Wavelets Multiresolut. Inf. Process. 2004. Vol. 2. P. 43–57.
- [14] Павлов А.Н., Храмов А.Е., Короновский А.А., Ситникова Е.Ю., Макаров В.А., Овчинников А.А. // УФН. 2012. Т. 182. Вып. 9. С. 905–939.
- [15] Acharya U.R., Joseph K.P., Kannathal N., Lim C.M., Suri J.S. Med. Bio. Eng. Comput. 2006. Vol. 44. P. 1031–1051.
- [16] Тихоненко В.М. Практикум по холтеровскому мониторингу. СПб.: БХВ. 2012. 112 с.
- [17] Божокин С.В., Лесова Е.М., Самойлов В.О., Толкачев П.И. // Биофизика. 2012. Т. 57 № 4. С. 696–712.
- [18] Абарбанель Г.Д., Рабинович М.И., Селверстон А., Баженнов М.В., Хуэрта Р, Сущик М.М., Рубчинский Л.Л. // УФН. 1996. Т. 166. Вып. 4. С. 363–390.
- [19] Chizhov A.V., Graham L.J. // Phys. Rev. E. 2008. Vol. 77. P. 011 910–011 917.
- [20] Zhdanova I.V., Masuda K., Bozhokin S.V., Rosene D.L., González-Martínez J., Schettler S., Samorodinsky E. // PLoS ONE. 2012. Vol. 7. N 3. P. e33327.
- [21] Чирков А.Г., Матисов Б.Г. Современная теория стабильности прецизионных генераторов. СПб.: Изд-во Политех. ун-та, 2010. 414 с.
- [22] Giordano V., Rubiola E. // Lect. Notes Phys. 2000. Vol. 550. P. 175–188.
- [23] Riley W.J. Handbook of Frequency Stability Analysis. Washington: National Institute of Standards and Technology, 2008. 136 p.
- [24] Ryabinkov A.I., Kaurov A.A., Kaminker A.D. // Astrophys. Space. Sci. 2013. Vol. 344. P. 210–228.
- [25] Backus I., Mitra D., Rankin J.M. // Mon. Not. R. Astron. Soc. 2010. Vol. 404. P. 30–41.
- [26] Lyne A., Hobbs G., Kramer M., Stairs I., Stappers B. // Science. 2010. Vol. 329. P. 408–412.
- [27] Herfindal J.L., Rankin M.J. // Mon. Not. R. Astron. Soc. 2007. Vol. 380. P. 430–436.